

## ارزیابی ریسک آتش‌سوزی شبکه‌ی گاز در کاربری‌های مختلف شهری پس از زلزله \*(مطالعه‌ی موردی: منطقه‌ی ۲۰ شهر تهران)

علیرضا صادقیان<sup>(۱)</sup>بابک امیدوار<sup>(۲)</sup>

**چکیده** در این مقاله الگوریتمی برای تخمین ارزیابی ریسک آتش‌سوزی شبکه‌ی گاز پس از زلزله در کاربری‌های مسکونی، صنعتی، آموزشی و دولتی منطقه‌ی ۲۰ شهر تهران براساس شبیه‌سازی مونت کارلو ارائه شده است. مدلول‌های تحلیل خطر، برآورد آسیب‌پذیری، تحلیل نشت و شکست در خطوط لوله، تحلیل احتمال اشتعال در نقاط نشت، تحلیل جریان گاز در خطوط لوله و تحلیل پیامد اشتعال به کارگرفته شده است. وقوع ۴ نشت، ۱ شکست و ۲ اشتعال در شدیدترین حالت برآورد شده و مجموع مساحت تحت تأثیر ۴ کاربری ذکر شده ۲۵۲۳۳ متر مربع و تعداد افراد تحت تأثیر ۱۴۶ نفر محاسبه شده است. پس از اعمال راهکار پیشنهادی، نتایج مذکور در حالت نشت ۷۵٪، در حالت شکست ۱۰۰٪ و در حالت اشتعال ۱۰۰٪ تقلیل یافته است.

**واژه‌های کلیدی** ارزیابی ریسک، آتش‌سوزی، شبکه‌ی گاز، شبکه‌ی برق، کاربری‌های شهری، شبیه‌سازی مونت کارلو، تهران.

## Fire Risk Assessment of Gas Infrastructure on Different Urban land Uses after Earthquake (Case Study: District No. 20 of Tehran Metropolitan)

A. Sadeghian

B. Omidvar

**Abstract** In this research an algorithm based on Monte Carlo simulation is introduced to assess the risk of fire following earthquake in residential, industrial, educational, and governmental land-uses in district No. 20 of Tehran. The proposed algorithm consist of different modules including hazard analysis, vulnerability assessment, leak and break analysis of damaged pipeline, ignition probability analysis of the damaged pipeline, gas flow analysis of pipeline, ignition and consequence analysis. Based on the results of this research in the extreme state, four leaks, one break, and two ignitions were estimated. In addition, the total affected area of the four mentioned occupancies includes 25233 square meters and the total affected population of 146 people was acquired. By applying proposed mitigation measure, the mentioned results in the case of leak could be reduced by 75%, in the case of break reduced by 100%, and in the case of ignition it was reduced by 100%.

**Keywords** Risk Assessment, Fire, Gas Network, Electricity Network, Urban land uses, Monte Carlo Simulation, Tehran.

★ تاریخ دریافت مقاله ۹۲/۳/۲۶ و تاریخ پذیرش آن ۹۳/۱۲/۱۷ می‌باشد.

(۱) کارشناس ارشد، مدیریت در سوانح طبیعی، دانشکده‌ی محیط زیست، دانشگاه تهران.

(۲) نویسنده‌ی مسئول، دانشیار، دانشکده‌ی محیط زیست، دانشگاه تهران.

منجر شده است، عمدتاً غیرتحلیلی و براساس داده‌های آماری آتش‌سوزی پس از زلزله‌های آمریکا و ژاپن بوده است [2].

میزونو (Mizuno) در سال ۱۹۷۸ اولین مدل اشتعال پس از زلزله را براساس داده‌های آماری آتش‌سوزی پس از زلزله‌های ژاپن ارائه داد [3]. در سال ۱۹۸۶ اسکاتورن (Scawhorn) مدل اشتعال پس از زلزله برای کانادا را با استفاده از روش فوق (داده‌های آماری آتش‌سوزی پس از زلزله) براساس زلزله‌های کالیفرنیا از سال ۱۹۷۱ تا آن تاریخ ارائه داد [4]. در سال ۱۹۹۱ کوسینز و همکاران (Cousins et al) از این مدل برآورد تعداد اشتعال پس از زلزله برای کشور زلاندنو استفاده نمودند [5]. ادینگر و همکاران (Eidinger et al) در سال ۱۹۹۵ با در نظر گرفتن تمامی زلزله‌های قرن بیستم آمریکا تا آن زمان و حتی آن زلزله‌ایی که در مدل اسکاتورن در نظر گرفته نشده بود، رابطه‌ی جدید را برای برآورد اشتعال مؤثر و غیرعمدی پس از زلزله ارائه نمود [6]، از این رابطه از سال ۲۰۰۱ در متدولوژی HAZUS استفاده شده است [7]. همچنین مطالعاتی توسط تریفوناس و تودوروواسکا (Trifunace & Todorovaska) در سال ۱۹۹۸ انجام شده است که در آن تعداد اشتعال‌های پس از زلزله ۱۹۹۴ نورتريج به عنوان توابعی از شدت مرکالی اصلاح شده، تعداد شکستگی‌های لوله‌های آب، تعداد ساختمان‌های علامت‌گذاری شده و بیشینه سرعت زمین صورت گرفته است و همچنین برای آنها تعدادی منحنی پیشنهاد شده است [8]. ویلیامسون و گرونر (Williamson & Groner) نیز در سال ۲۰۰۰ مطالعاتی را بر روی اشتعال‌های پس از زلزله به دلیل تخریب شبکه‌ی توزیع برق و گاز انجام داده‌اند که آسیب‌پذیری بیشتر را برای مناطق پرجمعیت و یا با بافت فرسوده، نسبت به وقوع اشتعال‌های پس از زلزله نشان می‌دهد [9]. آنچه از مطالعات پیشین درباره آتش‌سوزی پس از زلزله برمی‌آید این است که اکثر مدل‌های تخمین اشتعال‌های پس از زلزله بر مبنای داده‌های تجربی و کارهای آماری بوده‌اند و تفاوتی میان

## مقدمه

شهر تهران در دامنه‌ی جنوبی البرز مرکزی و بر روی نهشته‌های آبرفتی کواترنر بنا شده است. بررسی‌ها نشان می‌دهد که با وجود گسل‌های لرزه‌زا و کواترنر نظیر راندگی شمال تهران، کهربیزک، ری و پیشوای دهای گسل کوچک در بستر شهر تهران و نیز با توجه به تاریخچه‌ی لرزه‌ای این شهر، احتمال رویداد زمین‌لرزه‌ای با بزرگی بیش از هفت ریشتر در این شهر می‌تواند قابل انتظار باشد [1]. در این میان نامقاوم بودن بسیاری از ساختمان‌های تهران در برابر زلزله و نیاز به مقاوم‌سازی شریان‌های حیاتی، ضرورت تحلیل احتمال رویداد حریق پس از زمین‌لرزه را در این شهر بدیهی می‌نماید. اشتعال خطوط لوله‌ی گاز تهران پس از زلزله می‌تواند یکی از موارد مهم مخاطرات این شهر باشد. انشعابات گاز در مجاور ساختمان‌های نامقاوم و آسیب‌های ناشی از ساختمان و هم‌چنین گذر لوله‌های گاز از روی گسل‌های گوناگون و یا نزدیکی آنها می‌تواند موجب بروز خطرهای فراوانی شود. به علاوه مسائلی از قبیل وقوع جرقه در نتیجه‌ی اتصال کابل‌های برق، می‌تواند احتمال وقوع آتش‌سوزی پس از زلزله را تشید نماید. از طرفی به‌نظر می‌رسد با توجه به قدمت منطقه‌ی ۲۰ شهر تهران، این منطقه پتانسیل آسیب‌پذیری بالایی در برابر سوانح احتمالی از جمله زلزله و آتش‌سوزی پس از آن را داشته باشد. لذا در این پژوهش، خطرپذیری آتش‌سوزی کاربری‌های شهری پس از زلزله در خطوط لوله‌ی گاز منطقه‌ی ۲۰ شهر تهران مورد تحلیل قرار گرفته است.

تجارب مختلفی از بروز آتش‌سوزی پس از زلزله در محیط‌های شهری وجود دارد. زلزله‌های شهر سن فرانسیسکو در سال ۱۹۰۶ و شهر توکیو در سال ۱۹۲۳ به‌علت آتش‌سوزی‌های بعد از آن، به عنوان دو مورد از بدترین فجایع تاریخ بشری به حساب می‌آیند. به‌همین علت اولین تحقیقات در زمینه‌ی آتش‌سوزی پس از زلزله توسط دو کشور آمریکا و ژاپن انجام شده است. فعالیت‌های تحقیقاتی انجام‌شده بر روی اشتعال‌های پس از زلزله که به مدل‌سازی این پدیده

به دست آمده است. این منحنی‌ها می‌تواند برای تعیین اولویت در برنامه‌های کاهش و پیشگیری در نواحی شهری به کار برده شود [13]. در سال ۲۰۱۱ اسپوزیتو (Esposito) پایگاه داده‌ی سیستم اطلاعات جغرافیایی را توسعه داد که این پایگاه، داده‌های فیزیکی و خصوصیات عملکردی سیستم توزیع گاز لاکویلا (L'Aquila) را جهت توصیف رفتار لرزه‌ای تمامی اجزا دربر می‌گرفت. منطقه‌یی لاکویلا بر حسب خطرات تغییر شکل ناپایدار و پایدار زمین شناسایی شد و در ادامه به منظور ارزیابی پاسخگویی سیستم بر حسب شاخص‌های عملکردی؛ شبیه‌سازی احتمالاتی برای حالات‌های مختلف اجرا گردید [14].

### منطقه‌یی مورد مطالعه

منطقه‌ی ۲۰ شهر تهران با مساحتی در حدود ۲۳ کیلومتر مربع داخل محدوده‌ی شهری و ۱۵۳ کیلومتر مربع حریم، دارای ۳۷۸۴۵ نفر جمعیت می‌باشد که در منتهی‌الیه جنوب شرقی تهران قرار دارد. از لحاظ تقسیمات شهرداری، منطقه‌ی ۲۰ شهر تهران به ۷ ناحیه‌ی شهرداری و ۲۲ محله‌ی شهری تقسیم می‌شود [۱۵]. در شکل (۱) محدوده‌ی منطقه‌ی ۲۰ شهر تهران با توجه به نواحی ۷ گانه آن نشان داده شده است.

منطقه‌ی ۲۰ در گستره‌ی فرونژنست شمال ایران مرکزی (دشت تهران- ری) جای دارد. این بخش که قسمت‌های مرکزی و جنوبی شهر تهران، شهر ری و جنوب آن را فرا می‌گیرد، از نهشته‌های آبرفتی جوان و کمی قدیمی‌تر پوشیده شده است و مخروط افکنه‌های رودخانه‌های کن، کرج و جاجرود قسمت‌های جنوبی آن را می‌پوشاند [۱۶].

گسل‌های شمال و جنوب ری، گسل‌های موجود در منطقه می‌باشد. گسل شمال ری به صورت دیواره‌ی فرسوده‌ای به بلندی ۲ متر با راستای شرقی- غربی و درازای ۱۶/۵ کیلومتر در شمال و شمال غربی شهر ری قرار گرفته است. گسل جنوب ری به شکل دیواره‌ی کوتاه (میان ۱ تا ۲ متر) و درازای کلی حدود ۱۸/۵ کیلومتر است و ادامه‌ی شرقی و غربی آن در زیر

اشتعال‌های داخل و خارج ساختمانی قائل نشده‌اند و آنها را جداگانه مدل نکرده‌اند. در سال ۲۰۰۸ ذوالفاری و همکاران مدلی تحلیلی را برای برآورد احتمالی اشتعال‌های داخل ساختمانی ارائه کرده‌اند. در مدل آنها احتمال یک اشتعال در هر ساختمان برای یک زلزله سناریو محاسبه شده است و عواملی نظری تخریب اجزای سازه‌ای، اجزای غیرسازه‌ای ساختمان و واژگونی محتويات ساختمان، چگالی ساختمان‌ها (مساحت ساختمان‌ها، تعداد طبقات ساختمان‌ها)، انواع محتويات آنها، کاربری ساختمان‌ها، زمان زلزله در سال و روز و عدم قطعیت مرتبط با هر یک از آنها در محاسبه‌ی اشتعال در نظر گرفته شده است [۱۰]. یلدیز و کارامان (Yildiz & Karaman) در سال ۲۰۱۲، یک مدل فیزیکی به منظور تخمین تعداد آتش‌سوزی‌های پس از زلزله در داخل ساختمان و محل آن برای مناطق شهری ارائه دادند. در این مدل علاوه بر شدت مرکالی اصلاح شده و بیشینه شتاب زمین، عوامل دیگری نظری سیستم تجهیزات ساختمانی (سیستم گاز و برق)، لوازم پرخطر (بخاری، اجاق گاز و...) و لوازم کم خطر (کامپیوتر، تلویزیون و...) در نظر گرفته شده است [۱۱]. تحقیقات دیگری نیز در رابطه با بررسی دلایل وقوع اشتعال‌های پس از زلزله انجام شده است. از جمله این تحقیقات می‌توان به کارهای اسکاتورن و همکارانش در سال ۲۰۰۵ بر روی اثرات تخریب شبکه‌ی توزیع گاز بر وقوع اشتعال‌های پس از زلزله اشاره نمود. آنها بیان کردند که ۲۶٪ اشتعال‌های اتفاق افتاده پس از زلزله نورتریج به دلیل تخریب شبکه‌ی توزیع گاز بوده است [۱۲]. بهنامفر و رجبی‌پور در سال ۲۰۰۸، مدلی را برای تخمین احتمالاتی گسترش آتش‌سوزی پس از زلزله که ناشی از خرابی خطوط لوله‌ی گاز است، ارائه دادند. این مدل شامل ارزیابی سناریوهای خرابی خطوط لوله، مدل‌سازی اشتعال گاز طبیعی و مدل‌سازی گسترش آتش‌سوزی می‌باشد که با شبیه‌سازی عددی مدل پیشنهادی، منحنی‌هایی بر حسب زمان برای نشان دادن چگونگی آتش‌سوزی و افزایش خسارات پس از زلزله در مناطق مختلف

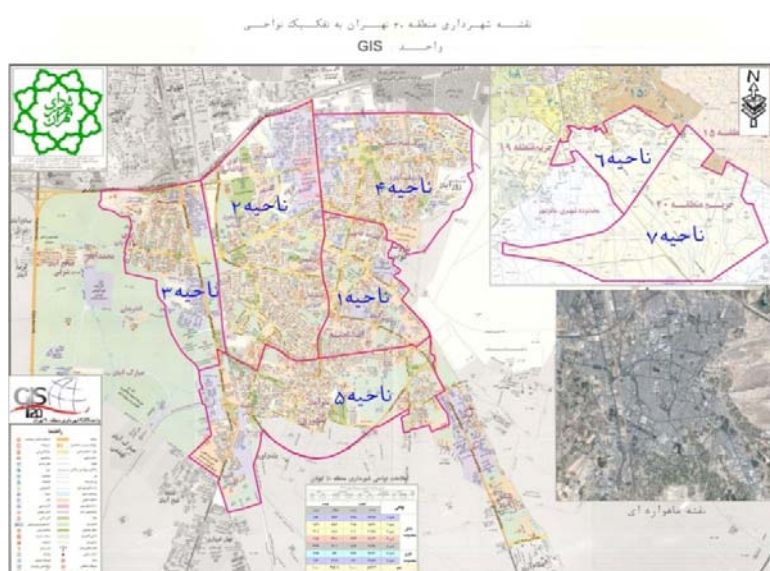
- ۲- برآورد آسیب پذیری شکست در برابر زلزله.
  - ۳- تحلیل خطر آتش‌سوزی پس از زلزله.
  - ۴- تحلیل جریان شبکه گاز.
  - ۵- تحلیل اشتعال و پیامد آن پس از زلزله.
- در شکل (۳) الگوریتم مورد استفاده در این تحقیق نشان داده شده است.

رسوبات جوان رودخانه‌ای و دشتی ناپدید می‌شود [۱۶]. در شکل (۲) موقعیت گسل‌های مورد مطالعه نشان داده شده است.

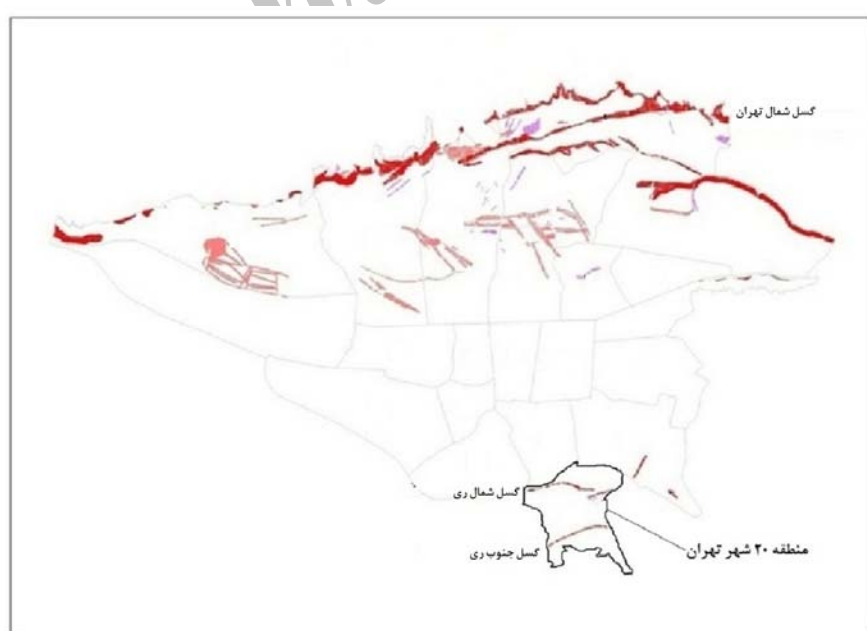
#### روش‌شناسی تحقیق

فرآیند تحقیق حاضر شامل پنج گام اصلی است.

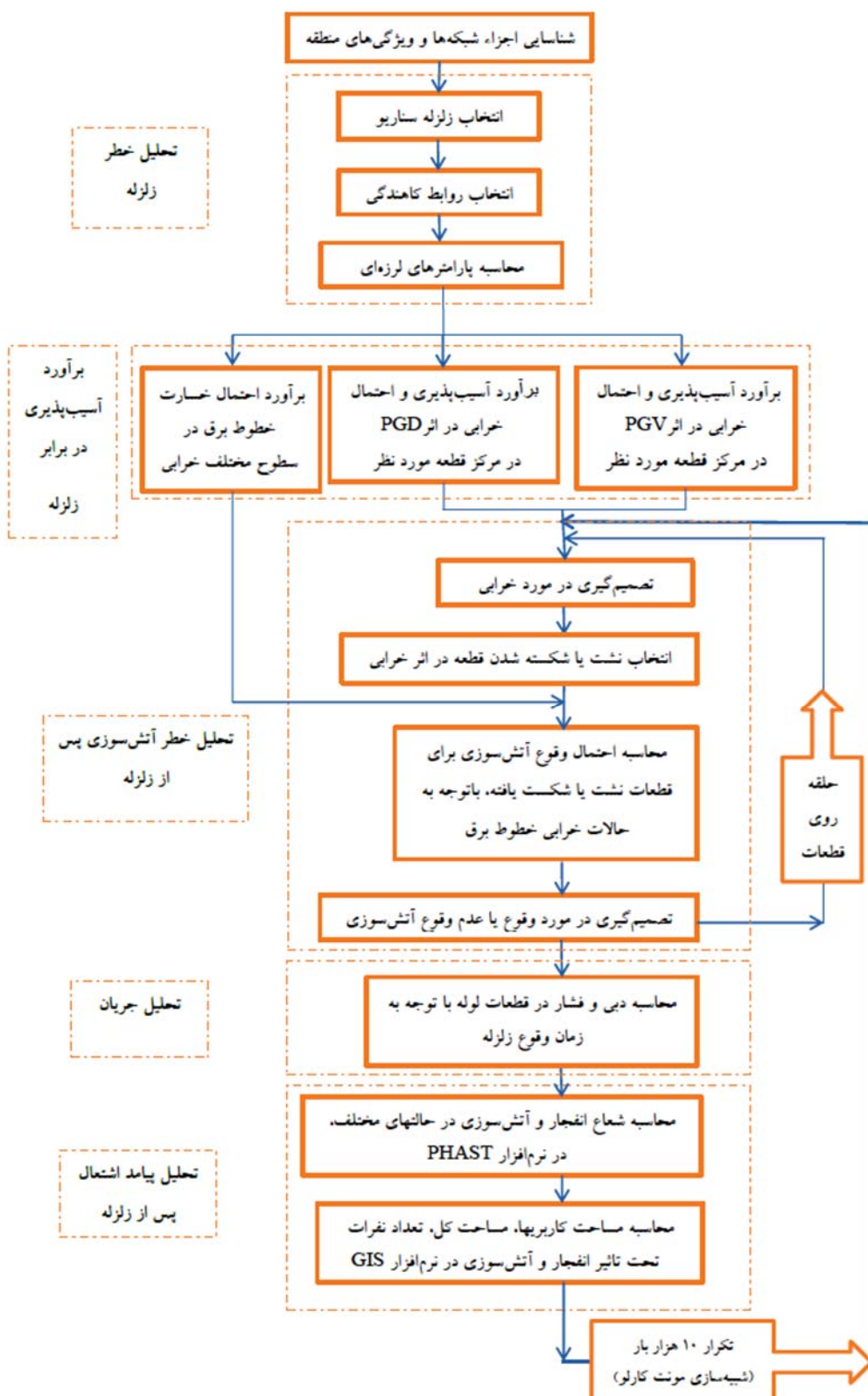
- ۱- تحلیل خطر زلزله.



شکل ۱ محدوده‌ی منطقه‌ی ۲۰ شهر تهران با توجه به نواحی ۷ گانه [۱۵]



شکل ۲ موقعیت گسل‌های مورد مطالعه



شکل ۳ الگوریتم مورد استفاده در تحقیق

احتمال شکست و یا نشت خطوط لوله‌ی گاز در نظر گرفته شد. احتمال وجود منبع جرقه برابر با احتمال جرقه در اثر تخریب خطوط هوایی شبکه‌ی برق فرض شد. در نهایت با ترکیب احتمال اشتعال در اثر نشت و شکست در سطوح مختلف خرابی شبکه‌ی برق، احتمال اشتعال هر یک از قطعات، به دست آمد. در این مرحله نیز به منظور تشخیص این‌که قطعه‌ی مورد نظر مشتعل می‌شود یا نه، احتمال اشتعال قطعه‌ی مورد نظر در هر تکرار شبیه‌سازی مونت‌کارلو با یک عدد تصادفی مقایسه شد و در مورد آن تصمیم‌گیری گردید. در گام چهارم، با مشخص بودن نقاط دچار نشت و شکست شده در خطوط لوله با استفاده از آنالیز جریان میزان گاز خروجی از محل‌های خسارت‌دیده محاسبه گردید. به این منظور برای در نظر گرفتن سناریوی مصرف، ابتدا زمان وقوع زلزله در دو بازه‌ی زمانی صبح و شب در نظر گرفته شد. سپس آنالیز جریان صورت گرفت و با استفاده از رابطه‌ی Panhandle B حجم و فشار گاز داخل قطعات لوله و میزان نشت به منظور تکمیل اطلاعات لازم برای آنالیز اشتعال و انفجار محاسبه گردید.

در گام پنجم، به منظور تحلیل اشتعال و پیامد آن پس از زلزله، اطلاعات لازم برای محاسبه‌ی شعاع آتش‌سوزی قطعات مشتعل شده با استفاده از نرم‌افزار PHAST، تکمیل شد و شعاع هفت نوع آتش باشدت‌های مختلف در نظر گرفته شده محاسبه گردید. در این راستا، کاربری‌های مسکونی، صنعتی، آموزشی و دولتی به دلیل نزدیکی به خطوط لوله و در معرض قرارگیری زیاد، برای تحلیل انتخاب شدند. سپس با استفاده از نرم‌افزار GIS، مقادیر مربوط به هفت آنالیز آتش به شکل بیضی بر روی قطعات خطوط لوله‌ی گاز که دچار اشتعال می‌شوند، انداخته شد و موارد زیر محاسبه گردید:

۱- مساحت کاربری‌هایی که تحت تأثیر آتش

در این تحقیق در گام اول، به منظور تحلیل خطر زلزله، اجزای شبکه‌های گاز و برق و هم‌چنین ویژگی‌های منطقه‌ی مورد مطالعه و کاربری‌های موجود، شناسایی شد و اطلاعات مربوط به آنها با استفاده از نرم‌افزار «ARC GIS» در لایه‌های اطلاعاتی معجزا به سامانه‌ی اطلاعات جغرافیایی وارد شد. سپس سه سناریوی زلزله برای منطقه‌ی مورد مطالعه در نظر گرفته شد و پس از انتخاب روابط کاهندگی مناسب (رابطه‌ی زارع و رابطه‌ی قدرتی و همکاران)، پارامترهای لرزه‌ای (ییشینه شتاب و سرعت زمین) برای هر یک از قطعات خطوط لوله گاز که قبل‌اً در محیط GIS صورت گرفته بود، محاسبه شد.

در گام دوم، به منظور برآورده‌ی آسیب‌پذیری در اثر زلزله، نرخ تعمیر و احتمال خرابی در اثر ارتعاش زلزله براساس حداقل سرعت زمین (Peak Ground Velocity) و هم‌چنین نرخ تعمیر و احتمال خرابی در اثر تغییر مکان دائمی زمین (Permanent Ground Deformation) با استفاده از روش‌شناسی HAZUS در مرکز هر یک از قطعات لوله در نظر گرفته شده برای هر سه سناریوی زلزله محاسبه شد. در این مرحله به منظور تشخیص این‌که قطعه‌ی خراب شده دچار نشت یا شکست شده است، احتمال خرابی قطعه‌ی مورد نظر در هر تکرار شبیه‌سازی مونت‌کارلو با یک عدد تصادفی مقایسه شده و در مورد نحوه‌ی خرابی آن تصمیم‌گیری گردید. سپس احتمال خسارت خطوط هوایی شبکه‌ی برق در سطوح مختلف خرابی در منطقه‌ی مورد نظر محاسبه شد.

در گام سوم، به منظور برآورده‌ی احتمال آتش‌سوزی هر یک از قطعات خطوط گاز از روش درخت خطا استفاده شد. در این مرحله، در درخت خطای مورد نظر دو عامل اصلی برای آتش‌سوزی پس از زلزله؛ منبع جرقه و خرابی شبکه‌ی گاز در نظر گرفته شد که به این منظور احتمال وجود سوخت قابل اشتعال برابر با

مناطق شهری تهران دیده شده است در این تحقیق نیز تأثیر فعال شدن گسل‌های مختلف بر منطقه‌ی مورد نظر بررسی شده است. بر این اساس، سه سناریوی محتمل وقوع زلزله در اثر گسل شمال ری، گسل جنوب ری و گسل شمال تهران در نظر گرفته شده است. مشخصات این سه سناریو در جدول (۱) آمده است.

با توجه به این‌که تحلیل جریان شبکه‌ی گاز منطقه‌ی مورد مطالعه، بدون در نظر گرفتن تمام ورودی‌های موجود در سطح شهر امکان‌پذیر نمی‌باشد؛ بنابراین مطابق شکل (۴) دو خط اصلی لوله‌ی انتقال گاز که یکی ۲۰ اینچی است و دیگری ۳۰ اینچی می‌باشد، در محاسبات و تحلیل‌ها در نظر گرفته شده‌اند و خطوط دیگر (چهار اینچی و ۱۲ اینچی) به عنوان مصرف‌کننده در نظر گرفته شده‌اند. به‌منظور محاسبه‌ی پارامترهای لرزه‌ای، لوله‌ی انتقال ۲۰ اینچی به ۱۲ سگمنت و لوله‌ی انتقال ۳۰ اینچی به ۵ سگمنت، قطعه‌بندی شده است.

پس از انتخاب زلزله‌های سناریو برای محدوده‌ی مورد مطالعه، باید پارامترهای مربوط به این زلزله‌ها محاسبه گردند. در این مطالعه از میانگین روابط کاهندگی زارع [۱۸] و کاظمی و همکاران [۱۹] برای حداکثر شتاب زمین و حداکثر سرعت زمین استفاده شده است.

ایجادشده در اثر زلزله قرار گرفته‌اند.

۲- کل مساحتی که تحت تأثیر آتش ایجادشده در اثر زلزله قرار گرفته است.

۳- تعداد کل نفراتی که تحت تأثیر آتش ایجادشده در اثر زلزله قرار گرفته‌اند.

در این تحقیق فرآیند مذکور (از گام ۲ تا انتها) برای هر سناریوی زلزله، با توجه به روش مونت کارلو برای شبیه‌سازی احتمالات از طریق تعداد دفعات زیاد (۱۰ هزار بار) تکرار شد تا عدم قطعیت‌های مربوط به این‌که در هر سناریوی زلزله کدام لوله‌ها در معرض شکست یا نشت و هم‌چنین اشتغال قرار می‌گیرند، مدل‌سازی گردد. در نهایت، نتایج خروجی برای سناریوهای در نظر گرفته شده مورد تحلیل آماری قرار گرفت و تابع توزیع احتمال متغیرهای خروجی و عدم قطعیت آنها تعیین شد.

در بخش بعدی جزئیات به کارگیری الگوریتم پیشنهادی در منطقه‌ی مورد مطالعه ذکر شده است.

### پیاده‌سازی الگوریتم

**تحلیل خطر زلزله.** با توجه به این‌که در مطالعات صورت گرفته توسط جایکا و پژوهشگاه بین‌المللی زلزله‌شناسی و مهندسی زلزله در قالب طرح جامع لرزه‌ای تهران [۱۷]، تأثیرات گسل‌های مختلف بر

جدول ۱ سناریوهای انتخاب شده برای زلزله

شماره سناریو	محل احتمالی وقوع زلزله	بزرگای زلزله سناریو (ریشتر)	عمق کانونی (کیلومتر)	عرض جغرافیایی زلزله احتمالی (UTM)	طول جغرافیایی زلزله احتمالی (UTM)
۱	روی گسل شمال ری	۶/۷	۵	۳۹۴۱۴۱۳/۴۶	۵۳۸۲۴۱/۷۶
۲	روی گسل جنوب ری	۶/۷	۵	۳۹۳۸۴۵۲/۷۷	۵۳۹۱۴۰/۰۲
۳	روی گسل شمال تهران	۷/۲	۵	۳۹۶۱۰۷۵/۲۳	۵۳۴۷۰۱/۰۲



شکل ۴ نقشه خطوط لوله‌های ۲۰ و ۳۰ اینچی شبکه‌ی گاز منطقه‌ی ۲۰ تهران

می‌بایست از ضریب اصلاح  $0/3$  برای نرخ تعمیر استفاده شود. در این مطالعه خطوط لوله‌ی فولادی با جوش‌گازی در نظر گرفته شده است. هم‌چنین مقدار نرخ تعمیر در اثر شکست دائمی زمین از رابطه‌ی (۳) محاسبه می‌شود [7].

$$(3) \quad R.R \otimes Pr[{\text{Liquefaction}}] \cdot PGD^{(0.56)}$$

در اثر شکست زمین  $20$  درصد خرابی‌ها، نشت و  $80$  درصد خرابی‌ها، شکست فرض می‌شود.

تحلیل خطر آتش‌سوزی پس از زلزله. همان‌طور که در شکل (۵) نشان داده شده است، در این تحقیق برای محاسبه‌ی احتمال اشتغال خطوط آسیب‌دیده از درخت خطا استفاده شده است که در آن دو عامل اصلی؛ منبع جرقه و خرابی شبکه‌ی گاز در نظر گرفته شده است. احتمال وجود سوخت قابل اشتعال برابر با احتمال خرابی خطوط لوله‌ی گاز و احتمال وجود منبع جرقه برابر با احتمال جرقه در اثر تخریب خطوط هوایی شبکه‌ی برق فرض می‌شود. در ارزیابی احتمال خرابی خطوط لوله، پارامترهای لرزه‌ای مؤثر بر تخریب خطوط

برآورده آسیب‌پذیری در برابر زلزله. پس از محاسبه‌ی بیشینه شتاب و سرعت زمین برای سناریوهای مختلف زلزله در محل مرکز قطعات خطوط لوله‌ی موجود در سیستم مورد مطالعه، احتمال خرابی این قطعات تخمین زده می‌شود، چرا که این احتمالات به عنوان ورودی درخت خطا خواهند بود. برای به دست آوردن احتمال خرابی هر یک از قسمت‌های خطوط لوله در اثر ارتعاش زلزله می‌توان از رابطه‌ی (۱) استفاده کرد.

$$(1) \quad P_f = 1 - \exp(-R.R * L)$$

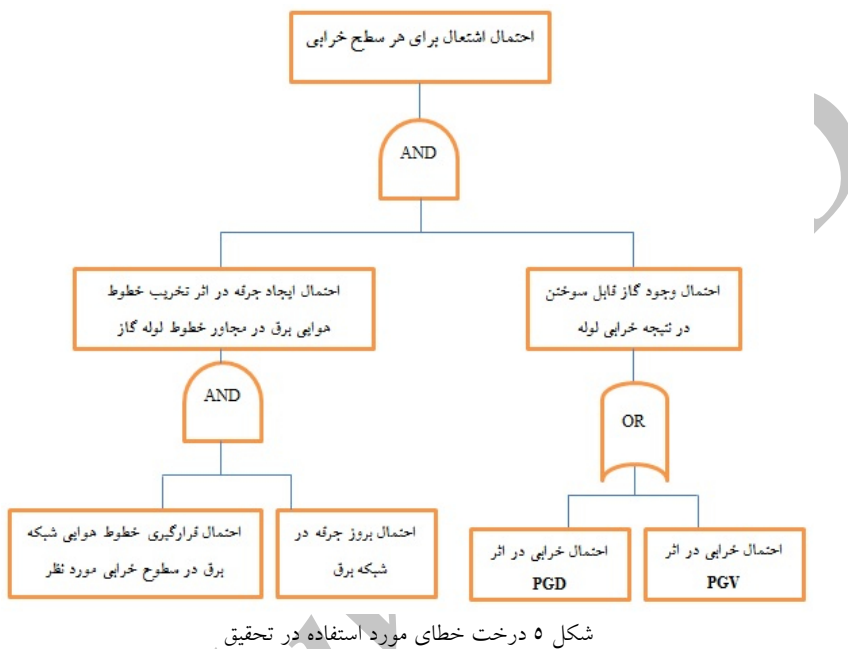
در این رابطه،  $R.R$  نرخ تعمیر،  $L$  طول قطعه لوله‌ی مورد نظر بر حسب متر می‌باشد. مقدار  $R.R$  حاصل از لرزش زمین نیز براساس روش شناسی HAZUS از رابطه‌ی (۲) به دست می‌آید [7].

$$(2) \quad R.R \otimes 0.0001 * PGV^{(2.25)}$$

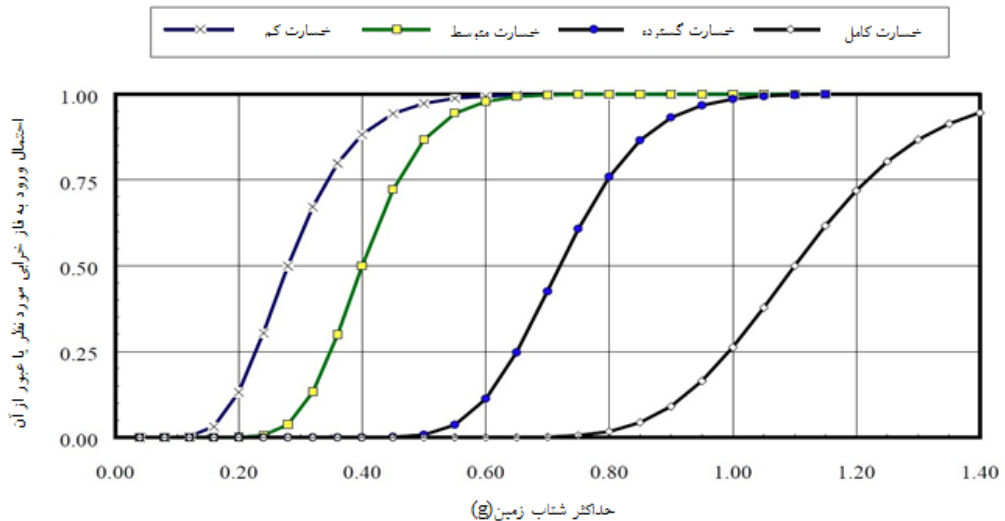
در این روش شناسی در اثر لرزش زلزله  $20$  درصد مقدار تعمیرها، شکست و  $80$  درصد آنها نشت خواهد بود. این مقدار  $R.R$  محاسبه شده از رابطه‌ی (۲) برای خطوط لوله‌ی ترد به کار می‌رود و برای خطوط لوله‌ی انعطاف‌پذیر (فولادی با جوش قوسی و پی‌وی‌سی)

نظر گرفته می‌شود [20] و احتمال قرار گرفتن خطوط شبکه‌ی برق در هر یک از سطوح خرابی محاسبه شده است. در محاسبه‌ی احتمال بروز جرقه در اثر تخریب خطوط هوایی شبکه‌ی برق احتمال بروز جرقه در شبکه برق خسارت‌دیده ۶۰٪ فرض می‌شود [10].

لوله، حداکثر تغییر مکان دائمی زمین و حداکثر سرعت زمین در نظر گرفته شده است. در این تحقیق ایجاد جرقه در اثر تخریب خطوط هوایی شبکه‌ی برق در نظر گرفته شده است. میزان آسیب‌پذیری شبکه‌ی برق در سطوح مختلف خرابی، مطابق با شکل (۶) براساس منحنی‌های شکنندگی در



شکل ۵ درخت خطا مورد استفاده در تحقیق



شکل ۶ منحنی‌های شکست شبکه‌ی توزیع برق هوایی برای چهار سطح خرابی مختلف [7]

که در این رابطه  $P_b$  فشار پایه به  $T_b$  دمای پایه به  $(273+^{\circ}C)$ ,  $G$  وزن مخصوص گاز،  $Q$  نرخ جریان گاز به  $m^3/day$ ,  $D$  قطر داخلی لوله به  $mm$  و ویسکوزیتی گاز به poise می‌باشد [21].

$$Q = 1.002 * 10^{-2} E \left( \frac{T_b}{P_b} \right)^{1.02} \left( \frac{P_1^2 - e^8 P_2^2}{G^{0.961} T_f L_e Z} \right)^{0.51} D^{2.53} \quad (\text{SI units}) \quad (5)$$

که در این رابطه  $Q$  نرخ جریان گاز به  $m^3/day$  کارایی خط لوله،  $P_b$  فشار پایه به  $T_b$  دمای پایه به  $kPa$  (absolute) ( $273+^{\circ}C$ )  $P_1$  فشار بالادست به  $kPa$  (absolute) ( $273+^{\circ}C$ )  $P_2$  فشار پایین‌دست به  $kPa$  (absolute) ( $273+^{\circ}C$ ) وزن  $G$  دمای مخصوص گاز،  $T_f$  دمای متوسط جریان گاز به  $K$  طول قطعه لوله به  $Z km$  ضریب تراکم‌پذیری گاز و  $D$  قطر داخلی لوله به  $mm$  می‌باشد [21].

سپس با استفاده از رابطه‌ی (5) و با مشخص بودن دبی و فشار جریان در ابتدای هر یک از خطوط ۲۰ و ۳۰ اینچی منطقه‌ی مورد مطالعه، دبی و فشار گاز داخل لوله در محل خرابی هر یک از قطعات محاسبه شده است. قابل ذکر است، در قطعات شکسته شده فرض می‌شود کل حجم گاز داخل لوله تخلیه خواهد شد؛ بنابراین پس از قطعه‌ی شکسته شده محاسبات صورت نگرفته است.

**تحلیل پیامد اشتعال.** برای شبیه‌سازی پیامد اشتعال پس از زلزله، مدل‌های شناخته شده‌ای وجود دارد. در این مدل‌ها تأثیر عواملی چون پایداری جو و وزش باد منظور می‌شوند. اکثر مدل‌های موجود، پیچیده و شامل محاسباتی بسیار زمانبر هستند. لذا در این مرحله تمایل بسیار نسبت به استفاده از نرم‌افزارهای موجود برای مدل‌سازی وجود دارد. از جمله این نرم‌افزارها Areal Location of Hazardous Atmospherres می‌توان به نرم‌افزار آلوها (Hazardous Atmospherres) یا نرم‌افزار فست

تحلیل جریان گاز در لوله‌های خراب شده. با توجه به این که برای مدل‌سازی پیامد اشتعال پس از زلزله نیازمند دبی و فشار گاز داخل لوله در محل خرابی قطعات می‌باشیم، لذا در این قسمت دبی و فشار برای قطعات مورد نظر محاسبه شده است. به دلیل این که حجم و فشار گاز داخل لوله در فصول مختلف سال و هم‌چنین در طول شباهه روز به دلیل مصرف کمتر یا بیشتر، متفاوت می‌باشد؛ لذا ضروری است برای تحلیل جریان شبکه، زمان وقوع حادثه در نظر گرفته شود. به این منظور، زمان وقوع حادثه در فصل زمستان و در دو بازه‌ی زمانی صبح (ساعت ۶-۹) و شب (ساعت ۲۳-۱۸) به دلیل مصرف بیشتر (استفاده از بخاری‌ها و اجاق گازها) و افزایش نرخ جریان داخل لوله‌های گاز در این فصل و زمان‌های مذکور، در نظر گرفته شده است.

به منظور برآورد دبی گاز و هم‌چنین افت فشار در محل خرابی قطعات، روابط متعددی وجود دارد که از آن جمله می‌توان به رابطه‌ی برنولی (Bernoulli's Equation)، رابطه‌ی کلی جریان (General Flow Equation)، رابطه‌ی فریتزیچ (Fritzsche Equation)، رابطه‌ی پن هندل ای و بی (Panhandle A & B Equation)، رابطه‌ی مولر (Mueller Equation) و اشاره کرد [21]. در این مرحله ابتدا به منظور انتخاب رابطه‌ی مناسب برای تحلیل دبی و افت فشار در محل خرابی قطعات، از رابطه‌ی (6) عدد رینولدز جریان برای لوله‌های مورد نظر محاسبه شده است. با توجه به این که عدد رینولدز جریان (Reynolds Number of Flow) از رابطه‌ی (4)،  $10^7 * 10^4$  برای لوله‌ی ۲۰ اینچی محاسبه می‌شود و از طرفی استفاده از رابطه‌ی پن هندل بی برای محدوده‌ی عدد رینولدز چهار تا ۴۰ میلیون دقیق می‌باشد [21]. بنابراین در این تحقیق رابطه‌ی پن هندل بی برای محاسبه افت فشار در محل خرابی قطعات، انتخاب شده است که در رابطه‌ی (5) بیان شده است.

$$R_e = 0.5134 (P_b/T_b) (GQ/\mu D) \quad (\text{SI units}) \quad (4)$$

جدول (۲) استفاده شده است [22].

جدول ۲ استانداردهای ارائه شده توسط شرکت DNV برای  
انتخاب سناریوها [22]

تجهیزات	قطر نشت مورد بررسی
لوله های با قطر کمتر از ۱/۵ اینچ	۵ mm و شکست کامل
لوله های با قطر بین ۲ تا ۶ اینچ	۲۵ mm، ۵ mm و شکست کامل
لوله با قطر بین ۸ تا ۱۲ اینچ یا بالاتر	۱۰۰ mm، ۲۵ mm، ۵ mm و شکست کامل

با توجه به این که در این تحقیق در منطقه مورد مطالعه لوله های ۲۰ و ۳۰ اینچی مدنظر می باشند، لذا این لوله ها بر طبق جدول (۲) در ردیف لوله با قطر بین ۸ تا ۱۲ اینچ، یا بالاتر قرار می گیرند که به طور تصادفی ابعاد پارگی متناظر با لوله های گفته شده انتخاب گردیده است.

شرایط آب و هوایی. با توجه به تأثیرگذار بودن نوع شرایط آب و هوایی بر روی نتایج حاصل از مدل سازی حوادث، یکی از الزامات مدل سازی، تعیین شرایط آب و هوایی و پارامترهای مربوط به آن می باشد. به این منظور باید از اطلاعات هواشناسی ثبت شده در منطقه تحت بررسی استفاده نمود که در زیر آمده است [22]:

۱- دمای هوا و زمین (سطح خاک):  $12^{\circ}\text{C}$   
۲- رطوبت هوا:  $60\%$

۳- سرعت و جهت وزش باد:  $4 \text{ m/s}$  و در جهت غربی  
۴- شرایط جغرافیایی (ناهمواری سطح):  $3\text{m}$

نتایج حاصل از این آنالیز به عنوان ورودی برای هر قطعه از لوله در نرم افزار GIS وارد می گردد. به دلیل این که حجم داده های ورودی و اطلاعات خروجی زیاد است و هم چنین با توجه به مکانی بودن کلیه داده ها، سیستم اطلاعات جغرافیایی (GIS) برای این منظور انتخاب شده است. نتایج خروجی آنالیز

(Process Hazard Analysis Software Tool) اشاره کرد که توانایی مدل سازی رهایش مواد و پیامد ناشی از آنها را دارد. در این میان نرم افزار PHAST یکی از مشهور ترین نرم افزارهای موجود در این زمینه است که در این مرحله از نرم افزار PHAST برای محاسبه ای شاعر آتش سوزی پس از زلزله استفاده شده است. اطلاعات مورد نیاز برای مدل سازی با نرم افزار PHAST در زیر آمده است:

داده های مربوط به منبع انتشار مواد. اطلاعات مورد نیاز در این بخش شامل نوع مواد، مقدار و شرایط عملیاتی نظیر دما و فشار مورد نظر می باشد. با توجه به این که بیش از ۹۰٪ گاز طبیعی را گاز متان تشکیل می دهد، لذا ماده ای مورد نظر در این تحقیق گاز متان در نظر گرفته شده است. حجم و فشار داخل قطعات لوله نیز بر طبق بخش قبلی (تحلیل جریان) به دست آمده است.

انتخاب سناریو. پس از تعیین مشخصات مواد موجود در فرآیند، باید نوع سناریوی محتمل را تعیین کرد. نرم افزار PHAST قادر به مدل سازی سناریوهای مختلفی به شرح زیر می باشد:

- ۱- شکست فاجعه بار (Catastrophic Rupture)
- ۲- شکست لوله (Line Rupture)
- ۳- شکست دیسک (Disk Rupture)
- ۴- نشت (Leak)

۵- انتشار در زمان معین (Fixed Duration)  
۶- انتشار از شیرهای فشارشکن (Relief Valve)

۷- انتشار از لوله بلند (Long Pipeline)

سناریو واقعه ای است که می تواند منجر به رخداد یکی از مخاطرات فرآیندی؛ آتش، انفجار و یا رهایش مواد سمی شود. سناریوهای در اکثر موارد به صورت نشتی و یا شکست محتمل در تجهیزات فرآیندی در نظر گرفته می شود به طوری که منجر به نشت مواد سمی و یا قابل اشتغال شوند. برای انتخاب سناریوهای از استانداردهای ارائه شده توسط شرکت DNV مطابق

اثر زلزله قرار گرفته‌اند.

لازم به ذکر است که در محاسبه‌ی مساحت‌های گفته شده، اثر همپوشانی آتش‌سوزی‌هایی (بیضی‌ها) که در قطعات مجاور یکدیگر اتفاق می‌افتد، در نظر گرفته شده است.

مراحل فوق برای هر سناریوی زلزله، با توجه به روش مونت کارلو برای شبیه‌سازی احتمالات ممکن از طریق تعداد دفعات زیاد (۱۰ هزار بار) تکرار می‌شود تا عدم قطعیت‌های مربوط به این‌که در هر سناریوی زلزله کدام لوله‌ها در معرض شکست یا نشت و اشتعال قرار می‌گیرند، مدل‌سازی گردد.

به عنوان نمونه در شکل (۷)، در معرض قرارگیری کاربری‌ها در برابر آتش‌سوزی برای یکی از حالات (تکرار) سناریو ۱ نشان داده شده است که با برنامه نویسی در محیط نرم‌افزار GIS به دست آمده است.

### تحلیل نتایج

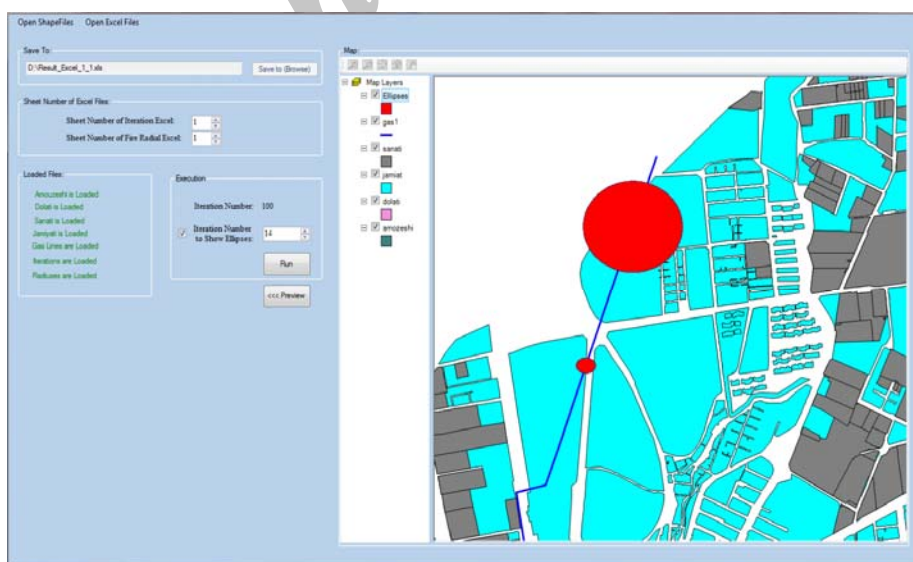
نتایج خروجی برای سناریوهای در نظر گرفته شده با استفاده از نرم‌افزار SPSS تحلیل شد. به عنوان نمونه نتایج مربوط به سناریوی شماره‌ی ۲ در بازه‌ی زمانی ساعت ۱۸-۲۳ برای آتش‌سوزی با گرمای  $4\text{ kw/m}^2$  در شکل (۸) نشان داده شده است.

PHAST شامل هفت شعاع در جهت باد برای حالات نشت یا شکست، و هفت شعاع در جهت عمود برد باد برای هر دو حالت نشت یا شکست می‌باشد. در حالت کلی برای نشت یا شکست خطوط لوله، هفت آنالیز آتش به صورت زیر موجود می‌باشد:

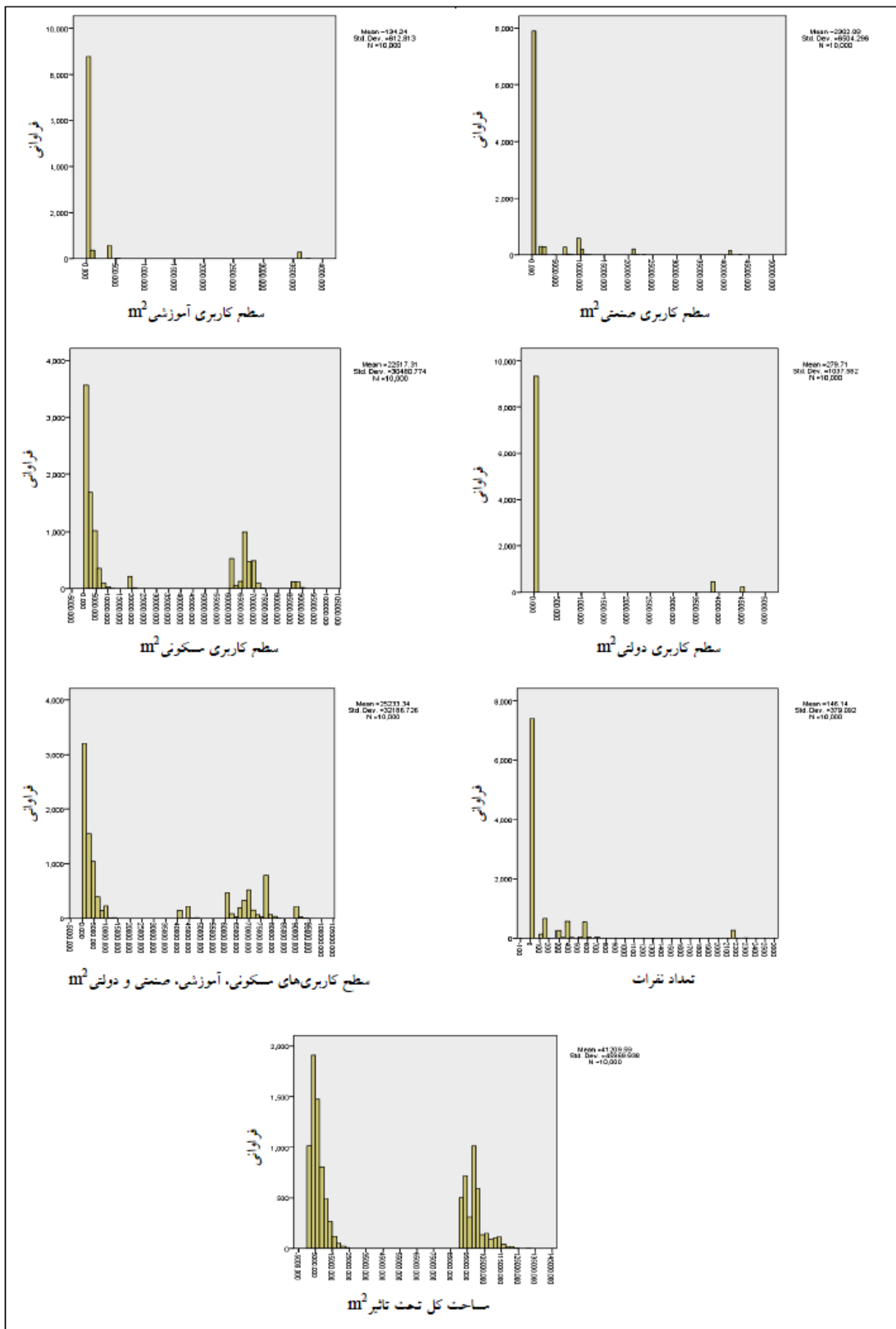
- ۱- آتش فورانی برای شدت گرمای  $4\text{ kw/m}^2$
- ۲- آتش فورانی برای شدت گرمای  $12/5\text{ kw/m}^2$
- ۳- آتش فورانی برای شدت گرمای  $37/5\text{ kw/m}^2$
- ۴- آتش فورانی برای احتمال مرگ  $1\%$
- ۵- آتش فورانی برای احتمال مرگ  $10\%$
- ۶- آتش فورانی برای احتمال مرگ  $100\%$
- ۷- انفجار خطوط لوله برای شدت موج فشاری بیش از  $2\text{ psig}$

با استفاده از نرم‌افزار GIS، ابعاد مربوط به هفت آنالیز آتش به شکل بیضی بر روی مرکز قطعات خطوط لوله‌ی گاز که دچار اشتعال می‌شوند، اندلخته شده و موارد زیر محاسبه شده است:

- ۱- مساحت کاربری‌هایی که تحت تأثیر آتش ایجاد شده در اثر زلزله قرار گرفته‌اند.
- ۲- کل مساحتی که تحت تأثیر آتش ایجاد شده در اثر زلزله قرار گرفته‌اند.
- ۳- تعداد کل نفراتی که تحت تأثیر آتش ایجاد شده در



شکل ۷ نمایش گرافیکی مربوط به میزان در معرض قرارگیری کاربری‌ها در برابر آتش  $4\text{ kw/m}^2$  برای یکی از حالات (تکرار ۱۴) سناریوی ۱



شکل ۸ نتایج مربوط به آتش سوزی با گرمای  $w/m^2$  برای سناریوی شماره‌ی ۲ در بازه‌ی زمانی ۱۸-۲۳

۵- در شدیدترین حالت که مربوط به وقوع آتش‌سوزی با گرمای  $4 \text{ kw/m}^2$  می‌باشد؛ در بازه زمانی ۶-۹ نتایج زیر حاصل شد:

به طور متوسط مجموع مساحت تحت تأثیر ۴ کاربری ذکر شده از  $۱۸۷۴۷ \text{ مترمربع}$  به  $۳۱۶۸ \text{ مترمربع}$  (٪۸۳ کاهش)، متوسط تعداد افراد تحت تأثیر از نفر به  $۲۰$  نفر (٪۸۲ کاهش)، متوسط مساحت منطقه تحت تأثیر از  $۳۸۵۹۲ \text{ مترمربع}$  به  $۵۸۴۲ \text{ مترمربع}$  (٪۸۵ کاهش) تقلیل یافت.

۱- به طور متوسط مجموع مساحت سوخته‌ی ۴ کاربری ذکر شده (کاربری مسکونی، صنعتی، آموزشی و دولتی) در اثر وقوع آتش‌سوزی با گرمای  $۱۷۵۳ \text{ kw/m}^2$  در بازه زمانی ۱۸-۲۳، از  $۳۷/۵ \text{ kw/m}^2$  مترمربع در حالت عادی به  $۲۹۵ \text{ مترمربع}$  (٪۸۳ کاهش) در حالت دوم تقلیل یافت.

۲- به طور متوسط از حدود ۴ نفری که در معرض احتمال مرگ ۱۰۰٪ در بازه زمانی ۲۳-۱۸ در حالت عادی بودند، به ۱ نفر (٪۷۵ کاهش) در حالت دوم تقلیل یافت.

۳- به طور متوسط مساحت منطقه تحت تأثیر در اثر موج انفجار  $2 \text{ psi}$  ایجاد شده در بازه زمانی ۲۳-۱۸، از  $۳۵۹۵ \text{ مترمربع}$  در حالت عادی به  $۳۶۵۸ \text{ مترمربع}$  (٪۸۵ کاهش) در حالت دوم تقلیل یافت.

۴- در شدیدترین حالت که مربوط به وقوع آتش‌سوزی با گرمای  $4 \text{ kw/m}^2$  می‌باشد؛ در بازه زمانی ۱۸-۲۳ نتایج زیر حاصل شد:

به طور متوسط مجموع مساحت تحت تأثیر ۴ کاربری ذکر شده از  $۲۰۹۳۰ \text{ مترمربع}$  به  $۳۵۲۳ \text{ مترمربع}$  (٪۸۳ کاهش)، متوسط تعداد افراد تحت تأثیر از نفر به  $۲۳$  نفر (٪۸۲ کاهش)، متوسط مساحت منطقه تحت تأثیر از  $۴۲۷۷۸ \text{ مترمربع}$  به  $۶۴۴۵ \text{ مترمربع}$  (٪۸۵ کاهش) تقلیل یافت.

ب- سناریوی دوم؛ مقایسه‌ی نتایج دو حالت مذکور (حالت اول: استفاده از لوله‌های ترد، حالت دوم:

تأثیر جایگزینی لوله‌های ترد با لوله‌های انعطاف‌پذیر با توجه به نتایج بدست آمده به نظر می‌رسد، به منظور پیشگیری از حوادث ثانویه‌ی ناشی از وقوع زلزله که در اثر تخریب شبکه‌ی توزیع گاز شهری و نشت گاز محتمل می‌باشد، ارائه‌ی راهکارهای مقاوم‌سازی و کاهش اثرات ضروری باشد. به این منظور، به عنوان نمونه اثر جایگزینی لوله‌های انعطاف‌پذیر به جای لوله‌های ترد، تمام مراحل تحلیل با فرض جایگزین کردن لوله‌های ترد با لوله‌های انعطاف‌پذیر دوباره صورت گرفت و نتایج هر سه سناریو در حالت عادی (لوله‌ی ترد) و در حالت جایگزینی لوله‌های انعطاف‌پذیر به جای لوله‌های ترد، مقایسه شد.

الف- سناریوی اول؛ مقایسه‌ی نتایج دو حالت مذکور (حالت اول: استفاده از لوله‌های ترد، حالت دوم: جایگزینی لوله‌های انعطاف‌پذیر به جای لوله‌های

ترد) در سناریوی اول عبارتند از:

۱- به طور متوسط از ۴ نشت، ۱ شکست و ۲ اشتعال در حالت عادی (حالت اول)، به ۲ نشت (٪۵۰ کاهش)، ۰ شکست (٪۱۰۰ کاهش) و ۰ اشتعال (٪۱۰۰ کاهش) در حالت دوم تقلیل یافت.

۲- به طور متوسط مجموع مساحت سوخته‌ی ۴ کاربری ذکر شده (کاربری مسکونی، صنعتی، آموزشی و دولتی) در اثر وقوع آتش‌سوزی با گرمای  $kw/m^2$   $۳۷/۵$  در بازه زمانی ۶-۹، از  $۱۴۷۹ \text{ مترمربع}$  در حالت عادی به  $۲۵۰ \text{ مترمربع}$  (٪۸۳ کاهش) در حالت دوم تقلیل یافت.

۳- به طور متوسط از حدود ۲ نفری که در معرض احتمال مرگ ۱۰۰٪ در بازه زمانی ۶-۹ در حالت عادی بودند، به ۰ نفر (٪۱۰۰ کاهش) در حالت دوم تقلیل یافت.

۴- به طور متوسط مساحت منطقه‌ی تحت تأثیر در اثر موج انفجار  $2 \text{ psi}$  ایجاد شده در بازه زمانی ۶-۹، از  $۲۲۷۰۴ \text{ مترمربع}$  در حالت عادی به  $۳۴۴۷ \text{ مترمربع}$  (٪۸۵ کاهش) در حالت دوم تقلیل یافت.

حالت عادی به ۴۳۲ مترمربع (۸۰٪ کاهش) در حالت دوم تقلیل یافت.

- به طور متوسط از حدود ۴ نفری که در معرض احتمال مرگ ۱۰۰٪ در بازه‌ی زمانی ۱۸-۲۳ در حالت عادی بودند، به ۱ نفر (۷۵٪ کاهش) در حالت دوم تقلیل یافت.

- به طور متوسط مساحت منطقه‌ی تحت تأثیر در اثر موج انفجار ۲psi ایجاد شده در بازه‌ی ۱۸-۲۳، از ۲۲۱۲۵ مترمربع در حالت عادی به ۳۸۴۹ مترمربع (۸۳٪ کاهش) در حالت دوم تقلیل یافت.

- در شدیدترین حالت که مربوط به وقوع آتش‌سوزی با گرمای  $4\text{ kw/m}^2$  می‌باشد؛ در بازه‌ی زمانی ۱۸-۲۳ نتایج زیر حاصل شد:

۱- به طور متوسط مجموع مساحت تحت تأثیر ۴ کاربری ذکر شده (کاربری مسکونی، صنعتی، آموزشی و دولتی) در اثر وقوع آتش‌سوزی با گرمای  $37/5\text{ kw/m}^2$  در بازه‌ی زمانی ۶-۹، از ۱۹۷۰ مترمربع در حالت عادی به ۳۸۲ مترمربع (۸۱٪ کاهش) در حالت دوم تقلیل یافت.

۲- به طور متوسط مجموع مساحت سوخته‌ی ۴ کاربری ذکر شده (کاربری مسکونی، صنعتی، آموزشی و دولتی) در اثر وقوع آتش‌سوزی با گرمای  $37/5\text{ kw/m}^2$  در بازه‌ی زمانی ۶-۹، از ۱۹۷۰ مترمربع در حالت عادی به ۳۸۲ مترمربع (۸۱٪ کاهش) در حالت دوم تقلیل یافت.

۳- به طور متوسط از حدود ۳ نفری که در معرض احتمال مرگ ۱۰۰٪ در بازه‌ی زمانی ۶-۹ در حالت عادی بودند، به ۰ نفر (۱۰۰٪ کاهش) در حالت دوم تقلیل یافت.

۴- به طور متوسط مساحت منطقه‌ی تحت تأثیر در اثر موج انفجار ۲psi ایجاد شده در بازه‌ی ۶-۹، از ۲۱۲۲۶ مترمربع در حالت عادی به  $3693\text{ m}^2$  (۸۳٪ کاهش) در حالت دوم تقلیل یافت.

۵- در شدیدترین حالت که مربوط به وقوع آتش‌سوزی با گرمای  $4\text{ kw/m}^2$  می‌باشد؛ در بازه‌ی زمانی ۶-۹ نتایج زیر حاصل شد:

۱- به طور متوسط مجموع مساحت تحت تأثیر ۴ کاربری ذکر شده از  $4278\text{ m}^2$  مترمربع به  $4278\text{ m}^2$  (۸۱٪ کاهش)، متوسط تعداد افراد تحت تأثیر از ۱۲۸ نفر به ۲۲ نفر (۸۳٪ کاهش)، متوسط مساحت منطقه‌ی تحت تأثیر از  $37577\text{ m}^2$  مترمربع به  $6593\text{ m}^2$  (۸۲٪ کاهش) تقلیل یافت.

۲- نتایج نشان می‌دهد که برای منطقه‌ی مورد نظر، گسل شمال ری و گسل جنوب ری ارجحیت ندارد، که این امر با نتایج مطالعات جایکا هم خوانی دارد. در این قسمت فقط نتایج مربوط به شدیدترین حالت ذکر شده است. در شدیدترین حالت که مربوط به

جایگزینی لوله‌های انعطاف‌پذیر به جای لوله‌های ترد) در سناریوی دوم عبارتند از:

۱- به طور متوسط از ۴ نشت، ۱ شکست و ۲ اشتعال در حالت عادی (حالت اول)، به ۱ نشت (۷۵٪ کاهش)، ۰ شکست (۱۰۰٪ کاهش) و ۰ اشتعال (۱۰۰٪ کاهش) در حالت دوم تقلیل یافت.

۲- به طور متوسط مجموع مساحت سوخته‌ی ۴ کاربری ذکر شده (کاربری مسکونی، صنعتی، آموزشی و دولتی) در اثر وقوع آتش‌سوزی با گرمای  $37/5\text{ kw/m}^2$  در بازه‌ی زمانی ۶-۹، از ۱۹۷۰ مترمربع در حالت عادی به ۳۸۲ مترمربع (۸۱٪ کاهش) در حالت دوم تقلیل یافت.

۳- به طور متوسط از حدود ۳ نفری که در معرض احتمال مرگ ۱۰۰٪ در بازه‌ی زمانی ۶-۹ در حالت عادی بودند، به ۰ نفر (۱۰۰٪ کاهش) در حالت دوم تقلیل یافت.

۴- به طور متوسط مساحت منطقه‌ی تحت تأثیر در اثر موج انفجار ۲psi ایجاد شده در بازه‌ی ۶-۹، از ۲۱۲۲۶ مترمربع در حالت عادی به  $3693\text{ m}^2$  (۸۳٪ کاهش) در حالت دوم تقلیل یافت.

۵- در شدیدترین حالت که مربوط به وقوع آتش‌سوزی با گرمای  $4\text{ kw/m}^2$  می‌باشد؛ در بازه‌ی زمانی ۶-۹ نتایج زیر حاصل شد:

۱- به طور متوسط مجموع مساحت سوخته‌ی ۴ کاربری ذکر شده از  $4278\text{ m}^2$  مترمربع به  $4278\text{ m}^2$  (۸۱٪ کاهش)، متوسط تعداد افراد تحت تأثیر از ۱۲۸ نفر به ۲۲ نفر (۸۳٪ کاهش)، متوسط مساحت منطقه‌ی تحت تأثیر از  $37577\text{ m}^2$  مترمربع به  $6593\text{ m}^2$  (۸۲٪ کاهش) تقلیل یافت.

۲- به طور متوسط مجموع مساحت سوخته‌ی ۴ کاربری ذکر شده (کاربری مسکونی، صنعتی، آموزشی و دولتی) در اثر وقوع آتش‌سوزی با گرمای  $37/5\text{ kw/m}^2$  در بازه‌ی زمانی ۶-۹، از ۱۹۷۰ مترمربع در حالت عادی به ۳۸۲ مترمربع (۸۱٪ کاهش) در حالت دوم تقلیل یافت.

۳- به طور متوسط از ۴ نشت، ۱ شکست و ۲ اشتعال در حالت عادی (حالت اول)، به ۱ نشت (۷۵٪ کاهش)، ۰ شکست (۱۰۰٪ کاهش) و ۰ اشتعال (۱۰۰٪ کاهش) در حالت دوم تقلیل یافت.

۴- به طور متوسط مساحت منطقه‌ی تحت تأثیر در اثر موج انفجار ۲psi ایجاد شده در بازه‌ی ۶-۹، از ۲۱۲۲۶ مترمربع در حالت عادی به  $3693\text{ m}^2$  (۸۳٪ کاهش) در حالت دوم تقلیل یافت.

۵- در شدیدترین حالت که مربوط به وقوع آتش‌سوزی با گرمای  $4\text{ kw/m}^2$  می‌باشد؛ در بازه‌ی زمانی ۶-۹ نتایج زیر حاصل شد:

۱- به طور متوسط مجموع مساحت سوخته‌ی ۴ کاربری ذکر شده از  $4278\text{ m}^2$  مترمربع به  $4278\text{ m}^2$  (۸۱٪ کاهش)، متوسط تعداد افراد تحت تأثیر از ۱۲۸ نفر به ۲۲ نفر (۸۳٪ کاهش)، متوسط مساحت منطقه‌ی تحت تأثیر از  $37577\text{ m}^2$  مترمربع به  $6593\text{ m}^2$  (۸۲٪ کاهش) تقلیل یافت.

۲- نتایج نشان می‌دهد که برای منطقه‌ی مورد نظر، گسل شمال ری و گسل جنوب ری ارجحیت ندارد، که این امر با نتایج مطالعات جایکا هم خوانی دارد. در این قسمت فقط نتایج مربوط به شدیدترین حالت ذکر شده است. در شدیدترین حالت که مربوط به

اشتعال پس از زلزله بر روی کاربری‌های مسکونی، صنعتی، آموزشی و دولتی مورد تحلیل قرار گرفت. در ادامه برای در نظر گرفتن عدم قطعیت موجود در مراحل تحلیل، حالات مختلف خسارت لرزه‌ای خطوط لوله‌ی شبکه‌ی گاز و آتش‌سوزی پس از آن براساس روش مونت‌کارلو از طریق دفعات تکرار زیاد (۱۰ هزار بار) شبیه‌سازی شد. مراحل تحقیق برای سه سناریوی گسل شمال ری، گسل جنوب ری و گسل شمال تهران پیاده شد. براساس نتایج حاصل از این تحقیق؛ در شدیدترین حالت که مربوط به سناریوی دوم (گسل جنوب ری) می‌باشد، به طور متوسط وقوع ۴ نشت، ۱ شکست و ۲ اشتعال ناشی از خرابی خطوط لوله ۲۰ و ۳۰ اینچ، مجموع مساحت تحت تأثیر ۴ کاربری ذکر شده ۲۵۲۳۳ مترمربع، تعداد افراد تحت تأثیر ۱۴۶ نفر و مساحت منطقه‌ی تحت تأثیر ۱۲۱۰ مترمربع در اثر وقوع آتش‌سوزی با گرمای  $4 \text{ kw/m}^2$  در بازه‌ی زمانی ۱۸-۲۳ محاسبه شد. با اعمال راهکار مبتنی بر جایگزینی لوله‌های انعطاف‌پذیر به جای لوله‌های ترد، نتایج ذکر شده در حالت نشت به میزان ۷۵٪، در حالت شکست به میزان ۱۰۰٪ و در حالت اشتعال به میزان ۱۰۰٪، مجموع مساحت تحت تأثیر ۴ کاربری ذکر شده به میزان ۸۲٪، تعداد افراد تحت تأثیر به میزان ۸۳٪ و مساحت منطقه‌ی تحت تأثیر ۸۳٪ تقلیل یافت.

وقوع آتش‌سوزی با گرمای  $4 \text{ kw/m}^2$  می‌باشد؛ در بازه‌ی زمانی ۶-۹ نتایج زیر حاصل شد:  
به طور متوسط مجموع مساحت تحت تأثیر ۴ کاربری ذکر شده از ۱۶۲ مترمربع به ۱ مترمربع (۹۹٪ کاهش)، متوسط تعداد افراد تحت تأثیر از ۱ نفر به ۰ نفر (۱۰۰٪ کاهش)، متوسط مساحت منطقه‌ی تحت تأثیر از ۲۲۶ مترمربع به ۳ مترمربع (۹۹٪ کاهش) تقلیل یافت.

در بازه‌ی زمانی ۱۸-۲۳ نیز نتایج زیر حاصل شد:  
به طور متوسط مجموع مساحت تحت تأثیر ۴ کاربری ذکر شده از ۱۷۵ مترمربع به ۱ مترمربع (۹۹٪ کاهش)، متوسط تعداد افراد تحت تأثیر از ۱ نفر به ۰ نفر (۱۰۰٪ کاهش)، متوسط مساحت منطقه‌ی تحت تأثیر از ۲۴۷ مترمربع به ۳ مترمربع (۹۹٪ کاهش) تقلیل یافت.

### نتیجه‌گیری

در این تحقیق روشی برای محاسبه‌ی احتمال وقوع اشتعال ناشی از خطوط لوله‌ی گاز و شبکه‌ی توزیع برق پس از زلزله و تبعات آن بر روی کاربری‌های مختلف در منطقه‌ی ۲۰ شهر تهران ارائه گردید. به این منظور، ابتدا با تحلیل خطر و برآورد آسیب‌پذیری زلزله به تحلیل خطر آتش‌سوزی پس از زلزله پرداخته شد. سپس با تحلیل جریان گاز در خطوط لوله، پیامد

### مراجع

1. بختیاری، س.، "بررسی حوادث حریق ناشی از زلزله در جهان و تهیه راهنمای حفاظت ساختمانها در برابر آتش با در نظر گرفتن خطرات و تخریب‌های احتمالی ناشی از زلزله"، بنیاد مسکن انقلاب اسلامی (پژوهشکده سوانح طبیعی)، (۱۳۸۶).
2. Lee, S. W., Davidson, R.A, "Review of Forest, Compartment, and Wildland-Urban Interface Fire Modeling and Their Relation to Fire Following Earthquake Models", *8<sup>th</sup> U.S. National Conference on Earthquake Engineering*, (2006).
3. Mizuno, H., "On outbreak of fires in earthquakes", Dissertation, Department of Architecture", *University of Kyoto*, (1978).
4. Scawthorn, C., Cowell, A. D and Borden, F., "Fire-related Aspects of The Northridge Earthquake",

- Report prepared for Building and Fire Research Laboratory, NIST-GCR-98-743, National Institute of Standards and Technology, Gaithersburg, MD, (1997).*
5. Cousins, W. J., Dowrick, D. J. and Sritharan, S., "Fire following earthquake", *In Proceedings of the Institution of Fire Engineers Conference*, New Plymouth, August, (1991).
  6. Eidinger, J. M., Goettel, K. A. and Lee, D., "Fire and economic impacts of earthquakes", *Proceedings of the 4th U.S. Conference on Lifeline Earthquake Engineering, San Francisco, California, USA.*, pp. 80-87, ASCE, (1995).
  7. Federal Emergency Management Agency (FEMA), "Earthquake Loss Estimation Methodology", Chapter 4, 8. Hazus 99-SR2, Technical Manual, Fema, Washington D.C., (1999).
  8. Trifunac, M.D., Todorovska, MI., "The Northridge, California, earthquake of 1994: fire ignition by strong shaking", *Soil Dynamics and Earthquake Engineering*, Elsevier Science Ltd., Vol. 17, pp. 165–175, (1998).
  9. Williamson, R. B., Groner, N., "Ignition of fires following earthquakes associated with natural gas and electric distribution systems", *Peer directed studies program for reducing seismic vulnerability of gas and electrical distribution and transmission systems*, Pacific Earthquake Engineering Research Centre, University of California, (2000).
  10. Zolfaghari, M., Peyghaleh, E., Golmoradi, L. and Nasirzadeh, Gh., "Urban utility ignition model, a probabilistic approach for modeling fire following earthquake", *In The 14<sup>th</sup> world conference on earthquake engineering*, Beijing, (2008).
  11. Yildiz, S. S., Karaman, H., "Developing a Physics-based Model for Post-Earthquake Ignitions". *9<sup>th</sup> International ISCRAM Conference – Vancouver, Canada*, (2012).
  12. Scawthorn, C., Eidinger, J.M., Schiff, A.J., "Fire following earthquake", ASCE, USA, (2005).
  13. Behnamfar, F., Rajabipour, A., "Probabilistic estimation of fire spreading following an earthquake due to gas pipeline damage", *The 14<sup>th</sup> World Conference on Earthquake Engineering*, Beijing, China, (2008).
  14. Esposito, S., "Systemic seismic risk analysis of gas distribution networks", Universita` di Napoli Federico II, (2011).
  15. شهرداری منطقه ۲۰. (بی تا). بازیابی در ۱۷ آذر ۱۳۹۱ از <http://region20.tehran.ir>
  16. بربریان، م. قریشی، م. ارزنگ روش، ب. و مهاجر اشجاعی، ا، "پژوهش و بررسی ژرف نوزمین ساخت لرزه زمین ساخت و خطر زمین لرزه-گسلش در گستره تهران و پیرامون"، سازمان زمین شناسی کشور، (۱۳۷۱).
  17. Japan International Cooperation Agency (JICA), "The Study on Seismic Microzoning of the Greater Tehran Area in the Islamic Republic of Iran", Final Report, (2000).
  18. زارع، م.، "مبانی تحلیل خطر زمین لرزه"، پژوهشگاه بینالمللی زلزله‌شناسی و مهندسی زلزله، (۱۳۸۸).

19. Kazemi, A., Razeghi H, and Ghodrati Amiri, G., "A New Method for Employment of Deterministic Attenuation Relationship in Probabilistic Seismic Hazard Analysis", *Asian Journal of Civil Engineering (Building and Housing)*, Vol. 11, No. 1. PP. 61-73, (2011).
20. Milutinovic, Z., Trendafiloski, G., "An Advanced Approach to Earthquake Risk Scenarios with Applications to Different European Towns", RISK\_UE Contract: EVK4-CT-2000-00014, (2003).
21. Menon, E. S., "Gas pipeline hydraulics". Chapter 2. CRC Press, (2005).
22. Weather base, <http://www.weatherbase.com/weather/weather.php3?s=45704&cityname=Tehran-Iran&set=metric>, Accessed June 26, (2010).

Archive of SID